**Температурно-временные границы стойкости:**

I — фазовый переход; II — рост зерен; III — выделение гелиевой пористости; IV — радиационное разрушение; V — область применения BeO в реакторах:  $\triangle$ ,  $\nabla$ ,  $\blacksquare$  — [11], поток быстрых нейтронов соответственно  $4,2 \cdot 10^{21}$ ,  $4,0 \cdot 10^{21}$  и  $1,1 \cdot 10^{21}$  нейтр./см $^2$ ;  $\square$  — [12],  $1,0 \cdot 10^{21}$  нейтр./см $^2$ ;  $\square$  — [4],  $1,2 \cdot 10^{21}$  нейтр./см $^2$ ;  $\diamond$  — [10],  $8 \cdot 10^{20}$  нейтр./см $^2$ ;  $\times$  — [13],  $2,8 \cdot 10^{21}$  нейтр./см $^2$ ;  $\bullet$  — [2],  $4 \cdot 10^{21}$  нейтр./см $^2$ . В первых шести случаях BeO не разрушена, в последних двух — рассыпалась в порошок.

ческой решетке. Ранее в ряде экспериментов [8, 9] было показано, что заметная подвижность атомов гелия наступает при температурах выше 1000—1200° С, когда отжигаются почти все радиационные эффекты, и прежде всего анизотропное расширение кристаллической решетки. Это дает основание полагать, что при температурах отжига 1300—1500° С на образование и рост пор не будут оказывать серьезного влияния дефекты радиационного происхождения, не связанные с существованием в кристаллической решетке атомов гелия. Одноступенчатые угольные реплики со свежих сколов облученных образцов, отожженных при температурах 1300—1500° С, просматривались в электронном микроскопе УЭМБ-100 [10]. Примерно равные по размеру и распределению на сколах поры были получены при

трех температурах и соответственно трех различных временах отжига. Эти точки нанесены на рисунке (светлые кружки) и по ним проведена пятих-пунктирная прямая. Ее можно рассматривать как температурную границу образования гелиевых пор, что подтверждается экспериментальными данными работы [11].

Построенная температурно-временная диаграмма характеризует стойкость BeO в широких интервалах температур, а также сроки эксплуатации. Можно видеть, что в области температур 900—1000° С в BeO мало проявляются эффекты, присущие как низкотемпературному, так и высокотемпературному облучению. Этую концепцию желательно проверить путем прямых экспериментов в условиях реактора.

Поступило в Редакцию 6/X 1969 г.

**ЛИТЕРАТУРА**

- Сб. «Оксись бериллия». Перев. с англ. Под ред. Р. А. Беляева, В. И. Купаковского. М., Атомиздат, 1968.
- С. Т. Конобеевский, В. И. Клименков, В. М. Косенко. «Докл. АН СССР», 165, 524 (1965).
- А. В. Худяков и др. «Атомная энергия», 24, 488 (1968).
- Б. С. Хикэм, А. В. Прайор. См. [1], стр. 41.
- М. Дж. Банистер. См. [1], стр. 295.
- С. Б. Остремэн. См. [1], стр. 232.
- Дж. Элстон и др. См. [1], стр. 60.
- Дж. Элстон. Radiation Damage in Reactor Materials. Vienna, IAEA, 1963, p. 703.
- L. Weil, J. Aslanian. Kältetechnik, 14, No. 12, 397 (1962).
- А. В. Худяков, З. Е. Островский, В. И. Клименков. «Атомная энергия», 23, 226 (1967).
- Дж. В. Кейлхольтц и др. См. [1], стр. 29.
- Р. Г. Миллз и др. См. [1], стр. 79.
- R. Shields et al. Report. ORNL-3164 (1961).

## Рений и его сплавы с бором — эффективные поглотители нейтронов

Б. Г. АРАБЕЙ, В. И. МАТВЕЕВ, В. П. СМИРНОВ, К. И. ФРОЛОВА

УДК 669.849:621.039.562

Рений и его сплавы с бором представляют интерес в отношении их использования в системах регулирования быстрых реакторов. Как известно, область высоких энергий характеризуется относительно небольшими величинами нейтронных сечений элементов, что ограничивает выбор достаточно эффективных материалов для систем регулирования.

Наиболее эффективными поглотителями в быстрых реакторах являются материалы на основе высокообогащенного бора (по B<sup>10</sup>), затем окись европия, рений и tantal; последний примерно в 2 раза менее эффективен, чем рений. Остальные материалы имеют существенно меньшую эффективность [1].

С учетом возможности получения интересных материалов, сочетающих свойства рения и бора, было проведено изучение эффективности рения и его некоторых сплавов с бором, а также оценена коррозионная стойкость таких материалов в натрии и их совместимость при нагревании с нержавеющей сталью.

В работе использован порошок электролитического рения чистотой 99,9%, бор аморфный чистотой 99,5%, а также бор 80%-ного обогащения по B<sup>10</sup>. Псевдосплавы рения с бором и с вольфрамом синтезированы из элементов методом термодиффузационного взаимодействия порошков при температуре 1800° С в вакууме не ниже 10<sup>-3</sup> мм рт. ст. Контролировались химический и фазовый составы псевдосплавов. Были получены композиции ReB<sub>3</sub> + B (содержание бора 15,0 вес. %, элементарная ячейка — гексагональная, тип ReB<sub>3</sub> — структурный,  $a = 2,95$  Å,  $c = 13,72$ ,  $c/a = 4,65$ ), а также ReB<sub>3</sub> + 7 вес. % WB<sub>12</sub> (состав последней контролировался только химическим анализом). Компактные образцы псевдосплавов приготовлены методом спекания под давлением до 250 кГ/см $^2$  при температуре 1600—1700° С в течение 5—10 мин. Микротвердость фаз псевдосплавов лежала в пределах 2850—3100 кГ/мм $^2$  при нагрузке 50 г, предел прочности на сжатие составлял 99—112 кГ/мм $^2$ , модуль нормальной упругости в за-

висимости от состава изменялся в пределах  $(35-41) \times 10^3 \text{ кГ/мм}^2$ , коэффициент теплопроводности в интервале 20–650° С составлял  $(0,05-0,06) \text{ кал/(см}\cdot\text{сек}\cdot\text{град)}$ , коэффициент термического расширения в интервале 20–1000° С  $-6,5 \cdot 10^{-6} \text{ град}^{-1}$ , теплоемкость при 20° С  $0,045-0,055 \text{ кал/г}\cdot\text{град}$ .

Эффективность рения и его псевдосплавов с бором в отношении влияния на реактивность определялась на быстрой критической сборке, моделирующей реактор БН-350 [2]. Измерения проводились на малых образцах по периоду разгона реактора. Результаты измерений представлены в табл. 1, здесь же приведены расчетные значения эффективности, выполненные по теории возмущений на основе 18-группового диффузионного приближения с использованием микроскопических сечений [3]. Характерно, что эффективность рения и его псевдосплавов примерно в 1,5 раза выше эффективности карбива бора ( $\text{B}_4\text{C}$ ) естественного обогащения. Эффективность рения по сравнению с высокообогащенным  $\text{B}_4\text{C}$  примерно в 3 раза ниже. Тем не менее экономическая оценка показывает, что стоимость единицы реактивности

композиций  $\text{Re} - \text{B}$  (бор — естественный) в несколько раз ниже, чем аналогичная стоимость высокообогащенного  $\text{B}_4\text{C}$ .

Исследование совместимости псевдосплавов  $\text{Re} - \text{B}$  с жидким натрием проводилось при температурах 700 и 800° С в течение 500–10 000 ч (табл. 2).

Результаты испытания псевдосплавов  $\text{ReB}_3 + \text{B}$  по сравнению с  $\text{B}_4\text{C}$ ,  $\text{TaB}_2$  и  $\text{CrB}_2$  при температуре 800° С в течение 500 ч приведены в табл. 1.

Судя по величине коэффициента перехода  $K_{\text{п}}$  равного отношению количества бора, перешедшего в натрий, к содержанию бора в образцах, сплавы рения с бором имеют в натрии коррозионную стойкость, несколько меньшую, чем  $\text{B}_4\text{C}$ , и значительно меньшую, чем  $\text{CrB}_2$ .

С целью оценки влияния псевдосплавов  $\text{Re} - \text{B}$  на структуру и свойства материала оболочки стержня проведены испытания указанных материалов в стальной трубке (Х15Н15М3Б). При этом зазор между образцами и трубкой заполнялся натрием или оставался воздушным. Испытания проведены при температурах 700 и 800° С в течение 500, 5000 и 10 000 ч (см. табл. 1 и 2).

### Эффективность поглотителя и его совместимость с натрием

Таблица 1

Поглотитель	Плотность, $\text{г}/\text{см}^3$		Эффективность				Испытания в натрии при 800° С в течение 500 ч			
	физичес- кая	по $\text{B}_{10}$	$\Delta K$ $\frac{\text{K}}{K} \times 10^{-6}, \text{ см}^{-3}$		относительная ( $\text{B}_4\text{C}_{\text{ест}}=1$ )		изменение веса образца, $\text{кг}/\text{см}^2$	содержание бора в натрии, вес. %		$K_{\text{п}}$
			эксперимент	расчет	экспери- мент	расчет		вблизи образца	среднее в объеме	
$\text{B}_4\text{C}$	1,8	0,264	$-8,75 \pm 0,012$	$-7,55$	1,0	0,863	Разрушился	0,19	0,17	0,0274
$\text{Re}$	21,0	—	$-14,0 \pm 0,69$	$-14,9$	1,6	1,7	—	—	—	—
$\text{ReB}_3 + \text{B}$ (естествен- ный)	10,0	0,296	$-13,8 \pm 0,6$	$-14,7$	1,58	1,68	$-0,0523$	0,35	0,25	0,0352
$\text{ReB}_3 + 7\% \text{ WB}_{12}$ (естественный)	9,3	0,3	$-13,9 \pm 0,093$	$-14,4$	1,59	1,65	$-0,0510$	0,32	0,21	0,0292
$\text{TaB}_2$	11,5	0,23	—	—	—	—	$-0,0028$	0,064	0,058	0,0105
$\text{CrB}_2$	5,4	0,28	—	—	—	—	$-0,0321$	0,053	0,043	0,0064
$\text{ReB}_3 + \text{B}$	10,0	1,128	—	$-39,8$	—	4,55	—	—	—	—
$\text{B}_4\text{C}$	2,1	1,264	$-42,5 \pm 0,38$	$-40,2$	4,85	4,58	—	—	—	—

### Совместимость стали Х15Н15М3Б \* со сплавом $\text{ReB}_3 + 7\% \text{ WB}_{12}$

Таблица 2

Среда в зазоре	Температура испытания, °С										
	700					800					
	Время испытания, ч										
глубина диффузи- онного слоя, мкм	$\sigma_0$ , $\text{kG}/\text{мм}^2$	$\sigma_{0,2}$ , $\text{kG}/\text{мм}^2$	$\delta$ , %	глубина диффузи- онного слоя, мкм	$\sigma_0$ , $\text{kG}/\text{мм}^2$	$\sigma_{0,2}$ , $\text{kG}/\text{мм}^2$	$\delta$ , %	глубина диффузи- онного слоя, мкм	$\sigma_0$ , $\text{kG}/\text{мм}^2$	$\sigma_{0,2}$ , $\text{kG}/\text{мм}^2$	
Воздух	75,0	38,4	37,1	2,6	—	39,3	34,8	8,4	110	28,8	26,0
Натрий	100 $\div$ 150	33,5	33,5	1,1	200 $\div$ 300	29,2	29,2	—	180 $\div$ 200	14,7	14,7
										5,2	5,6
										150	30,8
										280 $\div$ 400	3,5
											30,8
											7,8
											0

\*  $\sigma_0 = 40 \text{ кГ/мм}^2$ ;  $\sigma_{0,2} = 38 \text{ кГ/мм}^2$ ;  $\delta = 10,1\%$ .

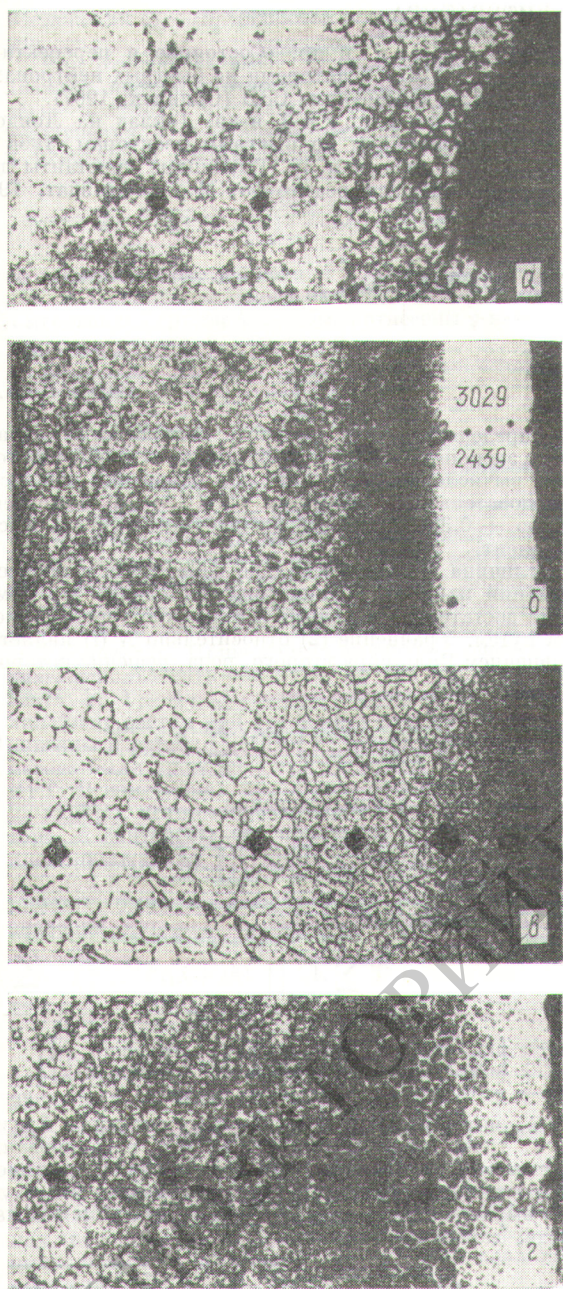


Рис. 1. Характер изменения структуры стали X15H15M3Б после испытаний в течение 5000 ч при температурах:

*a* — 700° С (в контакте с  $\text{ReB}_3 + 7\% \text{ WB}_{12}$  с воздушным зазором); *б* — 700° С (в контакте с  $\text{ReB}_3 + 7\% \text{ WB}_{12}$  с натрием); *в* — 800° С (в контакте с  $\text{ReB}_3 + 7\% \text{ WB}_{12}$  с воздушным зазором); *г* — 800° С (в контакте с  $\text{ReB}_3 + 7\% \text{ WB}_{12}$  с натрием).

На рис. 1 показано влияние взаимодействия сплавов  $\text{ReB}_3 - \text{WB}_{12}$  на структуру стали X15H15M3Б, а на рис. 2 — характер распределения элементов стали

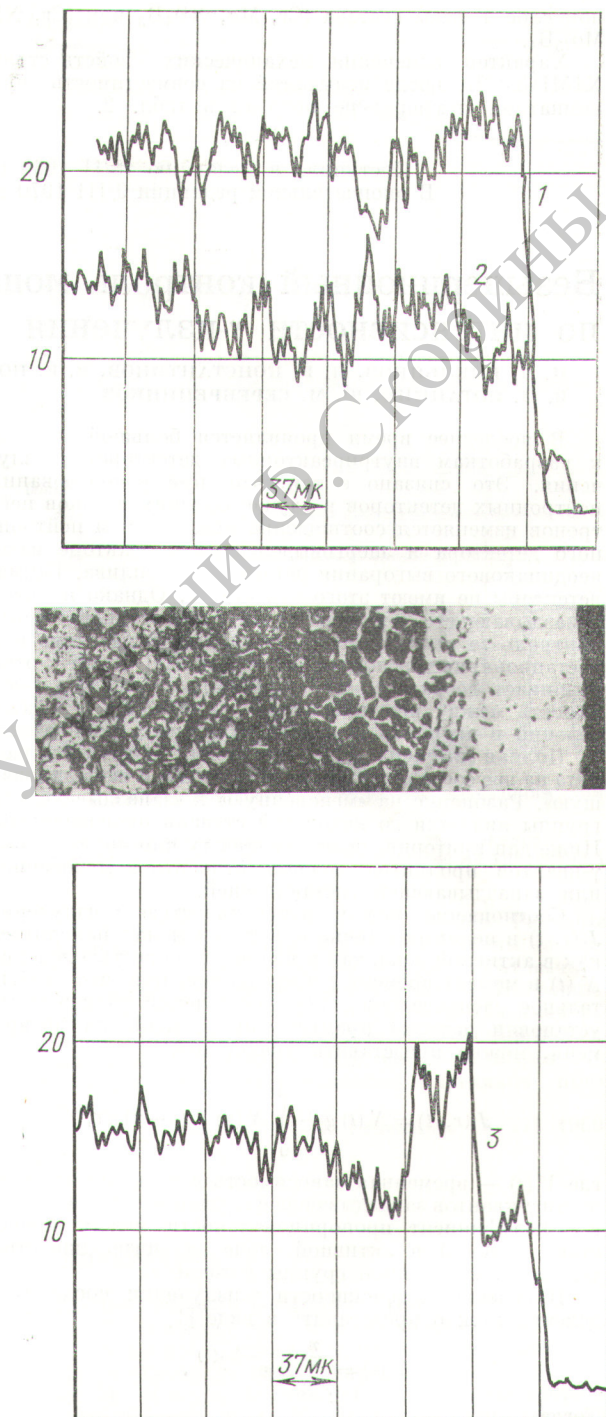


Рис. 2. Распределение железа (1), хрома (2) и никеля (3) в зонах взаимодействия стали при 800° С.

в диффузионном слое, образовавшемся за 5000 ч. Полученные результаты свидетельствуют о перераспределении компонентов стали при образовании в поверхност-

ном слое  $Y$ -фазы состава  $(\text{Cr}, \text{Mo}, \text{Ni})_4\text{B}_3$  или  $(\text{Cr}, \text{Ni}, \text{Mo})_5\text{B}_4$ .

Характер изменения механических свойств стали X15H15M3Б после испытаний на совместимость при комнатной температуре показан в табл. 2.

Поступило в Редакцию 18/II 1969 г.  
В окончательной редакции 9/III 1970 г.

## ЛИТЕРАТУРА

1. В. В. Орлов и др. «Состояние и перспективы развития АЭС с реакторами на быстрых нейтронах». Доклад на симпозиуме СЭВ (Обнинск, 1967).
2. А. И. Лейпунский и др. Доклад на Лондонской конференции по быстрым реакторам, 1966 г.
3. Л. П. Абагян и др. Групповые константы для расчета ядерных реакторов. М., Атомиздат, 1964

## Безынерционный контроль мощности реактора по интенсивности $\gamma$ -излучения

И. Я. ЕМЕЛЬЯНОВ, Л. В. КОНСТАНТИНОВ, В. В. ПОСТНИКОВ,  
В. И. ПОТАПКИН, Ю. М. СЕРЕБРЕННИКОВ

УДК 621.039.51

В последнее время проявляется большой интерес к разработкам внутриреакторных детекторов  $\gamma$ -излучения. Это связано с тем, что при использовании нейтронных детекторов в случае высоких потоков нейтронов изменяется соотношение между током нейтронного детектора и энерговыделением в реакторе из-за неодинакового выгорания детектора и топлива. Гамма-детекторы не имеют этого недостатка. Однако наличие запаздывающего  $\gamma$ -излучения затрудняет оперативный контроль за распределением мощности в реакторе при нестационарных режимах его работы. В связи с этим возникает необходимость установить временную зависимость между интенсивностью  $\gamma$ -излучения и числом делений в активной зоне или отдельных ее областях.

Полная интенсивность  $\gamma$ -излучения может быть разбита на две составляющие: «мгновенную» и «запаздывающую». Разбиение на «мгновенную» и «запаздывающую» группы является до некоторой степени произвольным. Ниже дан критерий, позволяющий ту или иную группу  $\gamma$ -квантов продуктов деления относить к мгновенной или запаздывающей составляющей.

Соотношение между интенсивностью  $\gamma$ -излучения  $J(r, t)$  в некоторой точке  $r$ , которая может находиться как в активной зоне, так и вне ее, и скоростью делений  $N(t)$  в момент времени  $t$  в предположении, что относительное распределение скорости делений вблизи места установки датчика практически не меняется во времени, можно представить уравнением

$$J(r, t) = N(t)g + \int_0^t N(\tau)V(t-\tau)d\tau, \quad (1)$$

где  $V(t)$  — временная зависимость в точке  $r$  интенсивности  $\gamma$ -квантов запаздывающей группы на одно деление;  $g$  — коэффициент пропорциональности между скоростью делений в активной зоне и интенсивностью  $\gamma$ -квантов мгновенной группы в точке  $r$ .

Изменение интенсивности  $\gamma$ -излучения после акта деления можно представить в виде [1]

$$V(t) = \sum_{j=1}^n A_j e^{-\lambda_j t}. \quad (2)$$

Тогда

$$J(r, t) = N(t)g + \int_0^t N(t) \sum_{j=1}^n A_j e^{-\lambda_j(t-\tau)} d\tau. \quad (2)$$

Величины  $g$ ,  $A_j$ ,  $\lambda_j$  зависят от типа реактора, от места расположения и конструкции гамма-детектора и долж-

ны определяться для каждого конкретного случая. Число экспонент в формуле (2) зависит от требуемой точности вычисления  $N(t)$ . Так, для измерения мощности исследовательского реактора «TRIGA» [2] с погрешностью  $\pm 0,3\%$  оказалось достаточным выбрать шесть экспонент.

Величина  $g$  будет несколько изменяться в процессе кампании из-за выгорания топлива, однако эти изменения достаточно медленные и их можно учесть расчетным путем. Уравнение (2) относительно  $N(t)$  является уравнением Вольтерра второго рода, решение которого [3] имеет вид

$$N(t) = \frac{J(t)}{g} - \frac{1}{g} \int_0^t J(\tau) \sum_{j=1}^n B_k e^{-\mu_k(t-\tau)}, \quad (3)$$

где  $-\mu_k = p_k$  — корни уравнения

$$g \prod_{j=1}^n (p + \lambda_j) + \sum_{j=1}^n A_j \prod_{i \neq j}^{n-1} (p + \lambda_i) = 0,$$

а  $B_k$  определяется формулой

$$B_k = \frac{\sum_{j=1}^n A_j \prod_{i \neq j}^{n-1} (p_k + \lambda_i)}{\left\{ \frac{d}{dp} \left[ g \prod_{j=1}^n (p + \lambda_j) + \sum_{j=1}^n A_j \prod_{i \neq j}^{n-1} (p + \lambda_i) \right] \right\}_{p_k}}.$$

Все  $\mu_k$  положительны и по порядку величины близки  $\lambda_k$ . С точки зрения автоматического регулирования уравнение (2) показывает, что реактор является линейной системой по каналу  $N - J$ , и приводит к следующим выражениям для амплитудно-частотной и фазочастотной характеристик:

$$R(\omega) = \sqrt{\left( g + \sum_{j=1}^n \frac{A_j \lambda_j}{\lambda_j^2 + \omega^2} \right)^2 + \left( \sum_{j=1}^n \frac{A_j \omega}{\lambda_j^2 + \omega^2} \right)^2}, \quad (4)$$

$$\operatorname{tg} \varphi(\omega) = -\frac{\sum_{j=1}^n \frac{A_j \omega}{\lambda_j^2 + \omega^2}}{g + \sum_{j=1}^n \frac{A_j \lambda_j}{\lambda_j^2 + \omega^2}}. \quad (5)$$